

# ОПРЕДЕЛЕНИЕ ИНДУКТИВНОГО НАПРЯЖЕНИЯ, НАВЕДЕННОГО В ЗАЗЕМЛЕННОЙ ЖЕЛЕЗНОДОРОЖНОЙ КОНТАКТНОЙ СЕТИ

АГОШТОН, А.—ТАРНАИ, Г.

Институт транспортной техники и организации транспорта

Отдел транспортной автоматики

Будапештского Технического Университета

Представлена проф. д-р Т. КЕЛЕМЕН, профессор

Поступило: в редакцию 28 января 1977 г.

Напряжение в заземлённой контактной сети может появиться путём индуктивной, ёмкостной или гальванической связи. Ниже мы занимаемся исключительно тем случаем, когда напряжение в контуре заземлитель-контактный провод-заземлитель-заземление тяговым током, протекающим по контуру незаземлённый контактный провод пути, параллельного пути с заземлённым контактным проводом — электровоз — заземление (заземлённый рельс и земля). Остальными упомянутыми влияниями мы занимаемся в литературе [6].

Для упрощения при исследовании мы рассматриваем заземлённый на двух концах участок провода контактной сети длиной  $h$ , заземлённую рельсовую нить, относящуюся к данному участку, далее два заземлителя как четырёхугольный контур, в котором наводится напряжение  $u_i$  под действием которого возникает ток  $i_i$  (фиг. 1). Напряжение наводится изменением потока, созданного переменным током, протекающим по цепи контактного провода, электровоза и рельсов соседнего пути. Соответственно этому

$$u_i = M \frac{di_v}{dt}, \quad (1)$$

где  $M$  — коэффициент взаимной индукции участка длиной  $h$ ,  $i_v$  — тяговый ток соседней цепи.

Коэффициент взаимной индукции отнесённый к единице длины

$$m = \frac{M}{h} \quad (2)$$

можно считать постоянным, таким образом, наведённое напряжение на единицу длины

$$\frac{u_i}{h} = \frac{M}{h} \frac{di_v}{dt} = m \frac{di_v}{dt}$$

также можно считать постоянным. Наведённое в контуре напряжение  $u_i$  уравнивается падением напряжения, вызванным током  $i_i$ . Если импеданс контура на единицу длины можно было бы считать постоянным (и расстояние электровоза  $l_v$  больше длины участка  $h$ , т. е. электровоз находится вне участка и так напряжение наводится по всему участку), то наведённое напряжение и падение напряжения уравнивается не только для всего участка, а также по всем элементарным участкам, т. е. между контактными про-

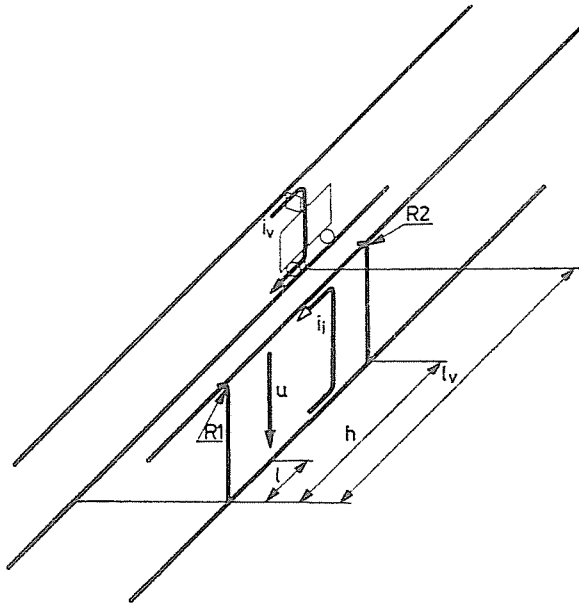


Рис. 1

водом и рельсом никакого напряжения  $u$  при любом расстоянии  $l$  не возникает (в интервале  $0 \leq l \leq h$ ). При справедливости этого качественного рассуждения может возникать напряжение  $u$ , отличающееся от нуля, если наведённое напряжение и падение напряжения не уравниваются на каждом элементарном участке. (Полное падение напряжения и полное наведённое напряжение естественно всегда уравниваются.) Это наблюдается и в том случае — и практически это так, — если единичный импеданс контактной сети и рельса можно считать постоянными. Отсутствие равновесия внутри элементарных участков может вызываться следующим:

1. Присутствие сосредоточенного импеданса (например, переходное сопротивление заземлителей  $R_1$  и  $R_2$ ).

2. Возникновение наведённого напряжения не по всей длине, т. е. случай  $l_v < h$ , (электровоз находится на исследуемом участке).

С учётом вышеупомянутых случаев мы проводим исследование при таких условиях, что 1. случаем называем появление только одной первой при-

чины, а 2. *случаем* — совместное появление первой и второй причины. При втором случае обозначим *случаем 2а*, когда  $l_v \geq l$  и *случаем 2б*, когда  $l_v \leq l$  (где  $l$  расстояние места исследования напряжения, или длина рассматриваемого участка по фиг. 1). Случаи 2а и 2б превращаются в специальный исходный случай при условии  $R_1 = R_2 = 0$ , когда имеет место только вторая причина.

Перед отдельным исследованием случаев 1. и 2. сформулируем те соотношения кроме (1) и (2), которые действительны для обоих случаев.

При синусоидальном тяговом токе или при несинусоидальном, но периодическом тяговом токе, для одной гармоники

$$i_r = I_{v \max} \sin \omega t = I_v \sqrt{2} \sin \omega t \quad (3)$$

где  $I_{v \max}$  — пиковое значение синусоидального тока,  $I_v$  — действующее значение,  $\omega$  — круговая частота,  $t$  — время. По соотношениям (1), (2) и (3) получим

$$u_i = M I_v \sqrt{2} \omega \cos \omega t \quad (4)$$

Заместив

$$U_i = M I_v \omega = I_v \omega m h \quad (5)$$

получим соотношение

$$u_i = U_i \sqrt{2} \cos \omega t, \quad (6)$$

где  $U_i$  — действующее значение наведённого напряжения  $u_i$ .

Импеданс контактного провода, приходящийся на единицу длины, обозначим через  $z_f$ , импеданс рельсовой нити через  $z_s$ , наведённый ток в контуре

$$i_i = \frac{u_i}{h(z_f + z_s) + R_1 + R_2}, \quad (7)$$

и

$$I_i = \frac{U_i}{h(z_f + z_s) + R_1 + R_2}, \quad (8)$$

где  $I_i$  — действующее значение наведённого контурного тока.

### 1. Исследование случая 1.

Неведённое напряжение в контуре стороной  $l$  составляет  $\frac{l}{h}$ -тую часть напряжения, наведённого в полном контуре  $u_i$ . При значении импедансов мы принимаем во внимание длину  $l$ . Уравнение Кирхгофа принимает вид

$$U + U_i \frac{l}{h} - I_i(z_f l + z_s l + R_1) = 0 \quad (9)$$

где  $U$  — действующее значение напряжения  $u$ , измеренного между контактным проводом и рельсом на расстоянии  $l$ .

Учитывая соотношения (2), (5), (8), (9), а также после сокращений и введения относительных выражений

$$v_h = \frac{l}{h}, \quad (10)$$

$$v_R = \frac{R_1}{R_1 + R_2} \text{ и} \quad (11)$$

$$v_z = \frac{h(z_f + z_s)}{R_1 + R_2} \quad (12)$$

с помощью алгебраических преобразований, использованием соотношения (2) получим выражение напряжения  $U$ :

$$U = I_v \omega m h \frac{v_R - v_h}{v_z + 1} = U_i \frac{v_R - v_h}{v_z + 1} \quad (13)$$

На основе соотношений (12) и (13) качественно можно оценить, что при  $R_1 = R_2 = 0$  значение  $U$  равно нулю, независимо от практических значений  $V_R$  и  $V_h$  (они могут принимать значения от нуля до единицы).

Введём обозначение

$$u_e = \frac{U_i}{v_z + 1} \quad (14)$$

соотношение (13) приобретает вид

$$U = u_e (V_R - V_h) \quad (15)$$

Вторая составляющая выражения (15) является действительной, составляющая  $u_e$ , как правило, комплексное выражение из-за комплексного  $V_z$ . Используя соотношения (5), (12) и (14) получим выражение

$$u_e = \frac{I_v \omega m h (R_1 + R_2)}{h(z_f + z_s) + R_1 + R_2} \quad (16)$$

в котором  $z_f$  и  $z_s$  обычно являются комплексными, остальные члены — действительными. В то же время очевидна независимость  $u_e$  от  $l$ . Комплексное выражение  $u_e$  напишем в экспоненциальную форму, выражение (15) имеет вид

$$U = |u_e| (v_R - v_h) e^{j \arccos u_e} = U_a e^{j \arccos u_e} \quad (17)$$

в котором  $\text{arc } u_e$  определяет направление вектора комплексного напряжения  $U$  по отношению к направлению напряжения  $U_i$ , а знак действительного выражения

$$U_a = |u_e| (v_R - v_h) \quad (18)$$

определяет значение (при отрицательном знаке фазовый угол напряжения  $U$  составляет  $\text{arc } u_e + 180^\circ$ ). Величина  $U_a$  определяется абсолютным значением вектора напряжения  $U$ . Диаграмма, составленная по соотношению (18),

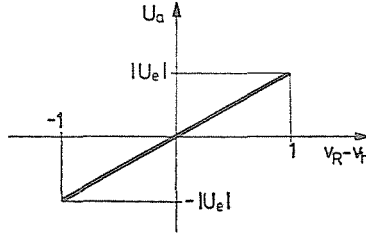


Рис. 2

изображена на фиг. 2. Тангенс направления прямой диаграммы  $|u_e|$ . Характерные предельные значения на основе соотношения (16):

$$\begin{aligned} \lim_{R_1 + R_2 \rightarrow 0} |u_e| &= 0 \\ \lim_{h \rightarrow 0} |u_e| &= 0 \\ \lim_{h \rightarrow \infty} |u_e| &= I_e \omega m (R_1 + R_2) \left| \frac{1}{z_f + z_s} \right| = U_i \frac{R_1 + R_2}{h} \left| \frac{1}{z_f + z_s} \right| \\ \lim_{+R_2 \rightarrow \infty} |u_e| &= I_e \omega m h = U_i \end{aligned} \quad (16a)$$

По соотношениям (10), (11) и (18) получим

$$U_a = |u_e| \left( \frac{R_1}{R_1 + R_2} - \frac{l}{h} \right). \quad (19)$$

В случае, когда  $R_1 = R_2$  получается диаграмма, изображённая на фиг. 3, по которой максимальное напряжение возникает вблизи заземления, если значение сопротивления заземления отличается от нуля.

В общем случае по соотношению (19) получим диаграмму, изображённую на фиг. 4.

Займёмся в дальнейшем определением неизвестного значения  $V_Z$  и  $V_R$ , далее  $R_1$  и  $R_2$  при измеренном значении  $U = U_1$  и  $U_{a1}$ , если  $l = 0$ , и  $U = U_2$  и  $U_{a2}$ , если  $l = h$ . Для этого заменим вышеуказанные значения в выражение

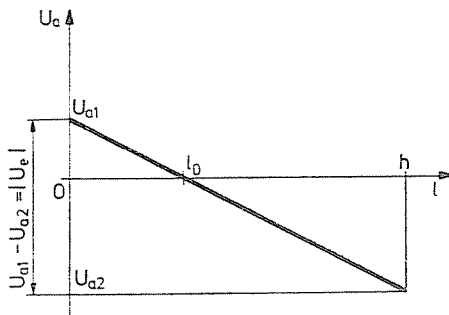


Рис. 3

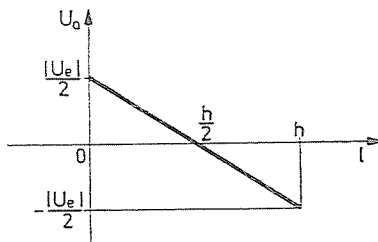


Рис. 4

(10), потом (13). Таким образом получим систему уравнений, состоящую из уравнений

$$U_1 = \frac{U_i}{v_z + 1} \cdot v_R \quad (20)$$

и

$$U_2 = \frac{U_i}{v_z + 1} (v_R - 1) \quad (21)$$

Решая систему уравнений для  $v_z$  и  $v_R$  в результате получим

$$v_R = \frac{U_1}{U_1 - U_2} \quad \text{и} \quad (22)$$

$$v_z = \frac{U_i}{U_1 - U_2} - 1 = \frac{I_v \omega m h}{U_1 - U_2} - 1 \quad (23)$$

(При выводе последней формулы были использованы соотношения (2) и (5).) С учётом того, что к напряжениям  $U_1$  и  $U_2$  принадлежит то же самое  $u_e$ , с помощью соотношения (17) и упрощая выражением  $e^{j \arccos u_e}$  формула (22) принимает вид:

$$v_R = \frac{U_{a1}}{U_{a1} - U_{a2}} \quad (24)$$

где значение  $U_{a1}$  и  $U_{a2}$ , подобно значениям по фиг. 4: значение  $U_a$  при  $l = 0$  и  $l = h$ . (Знаки  $U_{a1}$  и  $U_{a2}$  отличаются, в предельном случае одно из напряжений может быть равно нулю.)

Следовательно, значение  $V_R$  целесообразно определить с помощью формулы (24) на основе действительных значений  $U_{a1}$  и  $U_{a2}$ , а значение  $V_Z$  — на основе комплексных значений  $U_1$  и  $U_2$  с помощью формулы (23).

Замещая в формулах (22) и (23) соотношения (11) и (12), после преобразования получим выражения

$$R_2 = \frac{h(z_f + z_s)}{\frac{I_r \omega m h}{U_1 - U_2} - 1} \cdot \frac{-U_2}{U_1 - U_2} = \frac{h(z_f + z_s)}{\frac{I_r \omega m h}{U_{a1} - U_{a2}} e^{-j \operatorname{arc} u_e} - 1} \cdot \frac{-U_{a2}}{U_{a1} - U_{a2}} \quad (25)$$

$$R_1 = R_2 \frac{U_1}{-U_2} = R_2 \frac{U_{a1}}{-U_{a2}} \quad (26)$$

(Опять использовалось выражение (17).) Заметим, что вторая составляющая формулы (25) является действительной, поэтому первая составляющая тоже должна быть действительной, чтобы значение  $R_2$  получилось действительным. Выражение, выступающее первой составляющей, состоит из данных и результатов измерения ( $U_{a1}$ ,  $U_{a2}$  и  $\operatorname{arc} u_e$ ). То обстоятельство, что первая составляющая должна быть действительной, позволяет контролировать данные и результаты измерений.

## 2. Исследование 2. случая

Напряжение, наведённое в полном контуре, возникает только по длине  $l_v$ , хотя длина полного участка составляет  $h$ , поэтому применяем соотношение

$$U'_i = l_r m I_r \quad (27)$$

(и не соотношения (2) и (5)).

### 2.1 Случай 2а

В контуре, относящемся к длине  $l$ , наведётся напряжение  $\frac{l}{l_r} U'_i$  (здесь  $l \leq l_v$ ), таким образом, уравнение Кирхгофа для участка длины  $l$  принимает вид

$$U + U'_i \frac{l}{l_r} - I'_i(z_f l + z_s l + R_1) = 0 \quad (28)$$

Введём обозначение

$$v = \frac{l_r}{h} \quad (29)$$

Используя соотношение

$$I'_i = \frac{U'_i}{h(z_f + z_s) + R_1 + R_2} \quad (30)$$

и применяя соотношения (11), (12), (27), (28) и (29) после алгебраических преобразований получим выражение

$$U = I_v \omega m l_v \frac{v_R - \frac{l}{l_v} [1 + (1 - v) v_z]}{v_z + 1} \quad (31)$$

## 2.2 Случай 2б

В контуре с участком длиной  $l$  наводится также напряжение  $U'_i$ , так как по участку длиной  $l - l_v$ , превышающему длину участка  $l_v$  (здесь  $l \geq l_v$ ), индукция не возникает, вследствие того, что контур соседнего пути является параллельным с исследуемым контуром (длиной  $h$ ) только по длине  $l_v$ .

Уравнение Кирхгофа имеет вид

$$U + U'_i - I'_i(z_f l + z_s l + R_1) = 0$$

Подставляя соотношения (10), (11), (12), (27), и (30) получим формулу

$$U = I_v \omega m l_v \frac{v_R [1 + v_z(1 - v_h)]}{v_z + 1} \quad (33)$$

Если мы желаем описать влияние второй причины, упомянутой в введении с помощью формулы и диаграммы, нужно найти предельное значение соотношений (31) и (33) при  $R_1 \rightarrow 0$  и  $R_2 \rightarrow 0$ . При этом  $v_z \rightarrow \infty$ , получим в случае 2а

$$U_0 = \lim_{v_z \rightarrow \infty} U = I_v \omega m l (v - 1), \quad (34)$$

в случае 2б

$$U_0 = \lim_{v_z \rightarrow \infty} U = I_v \omega m l_v (V_h - 1). \quad (35)$$

Применяя обозначение  $\lim_{v_z \rightarrow \infty} U = U_0$  в соотношениях (34) и (29) получим уравнение

$$U_0 = I_v \omega m l \left( \frac{l_v}{h} - 1 \right) \quad (36)$$

сравнивая соотношения (35) и (10), получим формулу

$$U_0 = I_v \omega m l_v \left( \frac{l}{h} - 1 \right) \quad (37)$$

Формула (36) относится к случаю  $l \leq l_v$ , а формула (37) к случаю  $l \geq l_v$ . В случае  $l = l_v$  по обеим формулам

$$U_0 = I_v \omega m l_v \left( \frac{l_v}{h} - 1 \right) \tag{38}$$

На основе соотношений (36) и (37) получим серию кривых, изображённых на фиг. 5., у которых независимая переменная —  $l_v$ , параметр —  $l$ , зависимая переменная —  $U_0$ .

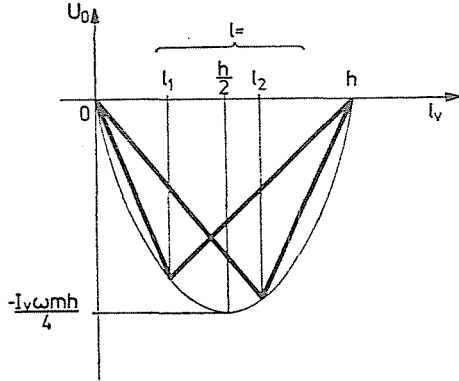


Рис. 5

При значении  $l_v = l$  кривые имеют излом (значение параметра равняется значению независимой переменной в этой точке). Возможные значения в точке излома находятся по формуле (38). В системе координат  $l_v - U_0$  точки излома образуют параболу, которая по формуле (38) при значений  $l_v = 0$  и  $l_v = h$  пересекает ось абсциссы и в интервале этих двух значений является отрицательной. Эта парабола также изображена на фиг. 5. Место предельного значения параболы, в то же время и место предельного значения  $U_0$  определяется дифференцированием формулы (38) по  $l_v$ . В результате получается, что функция принимает предельное значение при  $l_v = \frac{h}{2}$ . При этом значение  $U_0$  по формуле (38) равняется  $-I_v \omega m l_v \cdot 0,5$ , т. е.  $-0,25 I_v \omega m h$ .

Вышеизложенные расчёты показали, что при наличии только второй причины максимальное напряжение имеет место тогда, когда электровоз находится на соседнем пути как раз на месте исследования. В этом случае тогда наблюдается максимальное напряжение, если точка исследования выбрана на середине участка, заземлённого на обоих концах. (Возникает напряжение величиной  $-0,25 I_v \omega m h = \frac{U_i}{4}$ .)

### 3. Контроль результатов

Результаты могут быть проверены сравнением предельных значений разных соотношений.

Нижеприведённая таблица показывает сравниваемые случаи и применённые ограничения:

в первом случае —  $l_v \geq h$   
 в случае 2а —  $l_v \leq h; l \leq l_v$   
 в случае 2б —  $l_v \leq h; l \geq l_v$

Порядковый номер сравнения	Номер случая	Номер случая
	Ограничение	Ограничение
1	2.а.	2.σ.
	$R_1 = R_2 = 0$ $l = l_v$	$R_1 = R_2 = 0$ $l = l_v$
2	1.	2.а.
		$l_v = h$
3	1.	2.σ.
		$l = l_v = h$
4	2.σ.	2.σ.
	$l = h/2$ $R_1 = R_2 = 0$	$l = h/2$ $R_1 = R_2 = 0$
5	2.а.	2.σ.
	$l = l_v$	$l = l_v$

#### Сравнение 1

Это сравнение уже сделано. Соотношение (36) и (37) относится к случаям 2а и 2б, при ограничении  $R_1 = R_2 = 0$ . Оба соотношения привели к формуле (38) при ограничении  $l = l_v$ .

#### Сравнение 2

Заменяя в выражении (31)  $l_v$  значением  $h$ , с помощью соотношения (29) получается соотношение (13).

#### Сравнение 3

В выражении (33) вместо  $l_v$  и  $l$  заменим  $h$ , с помощью соотношения (10) получим формулу

$$U = I_v \omega t h \frac{v_R - 1}{v_r + 1} \quad (39)$$

Такой же вид имеет соотношение (13) при  $l = h$ .

#### Сравнение 4

В выражении (33) заменим соотношения (10) и (11), далее данные  $l = h/2$  и  $R_1 = R_2$ . Приходим к выражению

$$U = 0.5 I_v \omega t l_v \quad (40)$$

Такой же результат получим, если в выражении (35) заменим  $v_h = 0,5$  с учётом соотношения (10).

#### Сравнение 5

Это сравнение подобно сравнению I, отличие заключается в том, что не принимается во внимание ограничение  $R_1 = R_2 = 0$ .

По соотношениям (10) и (29) в случае  $l = l_v$  имеем равенство

$$v = v_h \quad (41)$$

С учётом этого равенства, выражение (31) можно преобразовать и оно примет вид выражения (33).

Каждое контрольное сравнение принесло ожидаемый результат.

### 4. Определение коэффициента взаимной индукции

В первом случае действительны соотношения (13), (16) и (16а) и косвенно соотношения (15) и (18), далее фиг. 2, 3, 4; в случае 2а действительны соотношения (31) и (34), в случае 2б действительны соотношения (33) и (35) и фиг. 5, действительная в общем случае 2, содержит коэффициент  $m$ , т. е. коэффициент взаимной индукции, приходящийся на единицу длины (см. соотношение (2)). Определим теоретическим путём приблизительное значение этого коэффициента с помощью схемы, показанной на фиг. 6. (Контактные провода находятся на высоте  $B$ , на расстоянии  $s$  друг от друга.)

Во-первых, определим силу магнитного поля и его составляющую, перпендикулярную плоскости контура в некоторой точке  $P$ , находящейся в плоскости контура, состоящего из участка контактного провода, заземлённого на двух концах. Сила магнитного поля создаётся  $i_v$  и  $-i_v$  током, протекающим отчасти по соседнему контактному проводу, отчасти по приведённому «заземлённому» проводу, заменяющему соседние рельсы. Абсолютное значение напряжённости  $\bar{H}_1$ , созданной током в контактном проводе, в силу закона возбуждения:

$$H_1 = \frac{i_v}{2\pi r_1} \quad (42)$$

Абсолютное значение напряжённости  $\bar{H}_2$ , созданной током «заземлённого провода» составляет

$$H_2 = \frac{i_v}{2\pi r_2} \quad (43)$$

Заметим, что приблизительный характер наших расчётов вызван двумя факторами. Одним из факторов является то, что «заземлённый провод» рассматривается, как один сосредоточенный провод, а в действительности же ток про-

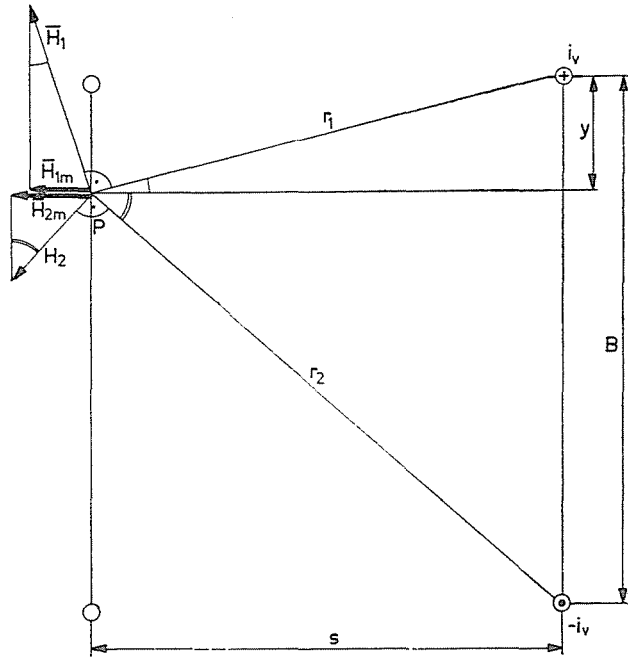


Рис. 6

текает по двум рельсам и по земле. (В зависимости от применённой рельсовой цепи нужно было бы принимать во внимание или два рельса, или по участкам по-переменно по одному рельсу.) Другим фактором является пренебрежение размерами самих проводов по сравнению с расстояниями  $B$  и  $s$ .

Векторная сумма напряжённостей  $\vec{H}_1$  и  $\vec{H}_2$  даст результирующую напряжённость в точке  $P$ . Для расчёта составляющей  $\vec{H}_m$ , перпендикулярной к плоскости контура, определим перпендикулярные составляющие напряжённостей  $\vec{H}_1$  и  $\vec{H}_2$  и сложим их алгебраически. Абсолютное значение перпендикулярных составляющих  $\vec{H}_{1m}$  и  $\vec{H}_{2m}$  можно выразить с помощью подоб-

$$H_{1m} = H_1 \frac{y}{r_1} \quad (44)$$

и

$$H_{2m} = H_2 \frac{B - y}{r_2} \quad (45)$$

ных треугольников в виде: Соотношения (44) и (45) можно представить в другой форме, используя соотношения (42) и (43), также закон Пифагора для треугольников с гипотенузой  $r_1$  и  $r_2$

$$H_{1m} = \frac{i_v}{2\pi} \frac{y}{s^2 + y^2} \quad (46)$$

и

$$H_{2m} = \frac{i_v}{2\pi} \frac{B - y}{s^2 + (B - y)^2} \quad (47)$$

Сумма перпендикулярных составляющих ( $\bar{H}_{1m}$  и  $\bar{H}_{2m}$ ) двух напряжённостей ( $\bar{H}_1$  и  $\bar{H}_2$ ) является составляющей  $\bar{H}_m$  перпендикулярной плоскости вектора суммарной напряжённости ( $\bar{H}_1$  и  $\bar{H}_2$ ). Абсолютное значение этой составляющей

$$H_m = H_{1m} + H_{2m} = \frac{i_v}{2\pi} \left[ \frac{y}{s^2 + y^2} + \frac{B - y}{s^2 + (B - y)^2} \right] \quad (48)$$

Плоскость рамки длиной  $h$  является перпендикулярной к плоскости рисунка. Внутри элементарной площади  $h \cdot dy$  значение  $H_m$  является постоянным. Элементарный поток элементарной площади:

$$d\psi_h = \mu H_m h dy, \quad (49)$$

где  $\mu$  — восприимчивость воздуха. Полный поток

$$\psi_h = \int_0^B \mu h H_m dy, \quad (50)$$

т. е. использованием соотношения (48) и после преобразований получим

$$\psi_h = i_v \frac{\mu h}{2\pi} \int_0^B \left[ \frac{y}{s^2 + y^2} + \frac{B - y}{s^2 + (B - y)^2} \right] dy. \quad (51)$$

С учётом соотношений, справедливых для коэффициента взаимной индукции

$$M = \frac{\psi_h}{i_v} \quad (52)$$

далее (51) и (2), после решения определённого интеграла получим формулы

$$M = \frac{\mu h}{2\pi} \ln \left[ 1 + \left( \frac{B}{s} \right)^2 \right], \quad (53)$$

$$m = \frac{\mu}{2\pi} \ln \left[ 1 + \left( \frac{B}{s} \right)^2 \right]. \quad (54)$$

Напряжение  $U$ , измеренное между заземлённым контактным проводом и «заземлением», определяется при первой причине по соотношению (13), а при второй причине — по соотношениям (34) и (35). В соотношении (13) выступает составляющая  $U_i = I_v \omega m h$ , которую надо умножить на составляющую по абсолютному значению не больше единицы, а в соотношениях (34) и (35)

составляющие  $I_v \omega ml \leq U_i$  и  $I_v \omega ml_v \leq U_i$  должны быть умножены на составляющую по абсолютному значению также не больше единицы. Таким образом, значение  $U$  не может превышать значения  $U_i = I_v \omega mh$ . Это физически очевидно, так как единственное активное напряжение по рамке — это наведённое напряжение  $U_i$ . (На фиг. 5. показано напряжение —  $0,25 U_i$ , как предельное значение. На фиг. 2., 3. и 4. указаны отрезки  $|u_e|$  и  $0,5 |u_e|$ . Значение  $|u_e|$  можно получить в силу соотношения (16) путём умножения составляющей, меньше единицы.)

Напряжение  $U_i$  можно рассматривать, как предельное значение и напряжения помехи, вызванные индукцией, не превышают этого значения.

Рассчитаем удельное значение  $U_{if}/h \cdot I_v = U_{if}$  на основе практических данных ( $\omega = 314/\text{сек}$ ,  $B = 6\text{ м}$ ,  $s = 4\text{ м}$ ,  $\mu = 4\pi \cdot 10^{-7}$  в сек/а м). Используем формулу, полученную по выражениям (2) и (54)

$$U_{if} = \frac{\mu}{2\pi} \ln \left[ 1 + \left( \frac{B}{s} \right)^2 \right]. \quad (55)$$

После подстановки практических данных в формулу (55), получим значение  $U_{if} = 74$  мв/а км.

Если расстояние заземлителей составляет 100 метров, под действием электровоза, потребляющего 100 ампер наводится напряжение всего

$$U_i = 0,74 \text{ вольт}$$

### Резюме

Напряжение в заземлённой контактной сети может появиться путём индуктивной, ёмкостной или гальванической связи. Мы занимаемся исключительно тем случаем, когда напряжение в контуре заземлитель-контактный провод-заземлитель-заземление тяговым током, протекающим по контуру незаземлённый контактный провод пути, параллельного пути с заземлённым контактным проводом — электровоз — заземление (заземлённый рельс и земля).

### Литература

1. GESZTI, P. O.: Villamosművek. Tankönyvkiadó, Budapest 1967.
2. CCIF Távközlő vonalak védelme erősáramú vezetékek hatása ellen. Közlekedési Kiadó, Budapest 1954.
3. Брылеев, А. М.—Шишляков, Ю. А.: Устройство и работа рельсовых цепей. Издательство Транспорт, Москва, 1966 г.
4. ÁRVAI, L.—KUCZORAI, I.—TÓTHFALUSI, J.: Korszerű sínáramkörök I. Tankönyvkiadó, Budapest 1966.
5. TÓTH, K.: A villamos vontatás helyhez kötött berendezései. Tankönyvkiadó, Budapest 1963.
6. ÁGOSTON, A.—TARNAI, G.: Elektrotechnika 70, 222 (1977).

д-р Аттила Агоштон }  
д-р Геза Тарнай } Н-1092. Budapest, Kinizsi u. 1—7.